

соответствует $\lambda \geq 25 h_0$). В средневолновой части спектра ($q_1 \leq q \leq q_2$), включающей особую точку минимума, можно использовать модель пластины — слой, которая позволяет описать изгибные резонансные волны в случае, если скорость движущейся нагрузки меньше скорости волн Рэлея для слоя.

ЛИТЕРАТУРА

1. Горбунов-Посадов М. И., Маликов Т. А. Расчет конструкций на упругом основании. — М.: Стройиздат, 1973.
2. Рахматулин Х. А. О распространении упругопластических волн в полупространстве // ПММ.— 1959.— Т. 23, вып. 3.
3. Ормонбеков Т. Взаимодействие конструкций со средой.— Фрунзе: Илим, 1983.
4. Михайлов А. М. Динамика однонаправленного стеклопластика // ПМТФ.— 1974.— № 4.
5. Степаненко М. В. О динамике разрушения однонаправленного стеклопластика // ПМТФ.— 1979.— № 4.
6. Степаненко М. В. Численный эксперимент по динамике разрушения композитного материала // Механика композит. материалов.— 1981.— № 1.
7. Абдукадыров С. А., Степаненко М. В. Об особенностях распространения гармонических волн в плоском слое, контактирующем с упругой средой // ФТПРПИ.— 1979.— № 5.
8. Ахенбах, Кешава. Свободные волны в пластине на упругом полупространстве // Тр. Амер. о-ва инж.-мех. Сер. Е. Прикладная механика.— 1967.— № 2.
9. Крауклис П. В., Молотков Л. А. О низкочастотных колебаниях пластины на упругом основании // ПММ.— 1963.— Т. 27, вып. 5.
10. Слепян Л. И. Нестационарные упругие волны.— Л.: Судостроение, 1972.
11. Айзенберг М. В., Слепян Л. И. Резонансные волны в полой цилиндрической оболочке, погруженной в сжимаемую жидкость // Переходные процессы деформации оболочек и пластин: Материалы Всесоюз. симпоз. по переходным процессам деформации оболочек и пластин, Тарту, 1967.— Таллин: Изд-во АН ЭССР, 1967.
12. Айзенберг М. В. О резонансных волнах в полой цилиндрической оболочке // Изв. АН СССР. МТТ.— 1969.— № 1.
13. Айзенберг М. В. О влиянии внешней среды на резонансные волны в полой цилиндрической оболочке // Изв. АН АрмССР. Механика.— 1969.— Т. 22, № 1.
14. Абдукадыров С. А. Одна динамическая задача для плоского слоя, окруженного упругой средой // ЧММСС.— 1980.— Т. 11, № 6.
15. Абдукадыров С. А. Влияние упругой среды на резонансные волны в слое // Прикладные проблемы прочности и пластичности. Статика и динамика деформируемых систем.— Горький: Изд-во ГГУ, 1980.

Поступила 3/II 1987 г.

УДК 539.375

РАСЧЕТ ОТКОЛЬНОГО РАЗРУШЕНИЯ В ОБРАЗЦАХ, СОДЕРЖАЩИХ ПОРИСТЫЕ ПРОКЛАДКИ

Н. Н. Белов, В. А. Гриднева, И. И. Корнеева, В. Г. Симоненко
(Томск)

В металлических образцах при взрывном и ударном нагружении может возникнуть откольное разрушение. Его можно уменьшить или предотвратить совсем, используя прокладки из пористых материалов, так как они обладают высокими характеристиками поглощения энергии.

В данной работе на основе численных методов механики сплошной среды проведено исследование влияния пористых прокладок на откольное разрушение в цилиндрических образцах, подвергнутых взрывному и ударному нагружениям.

1. Система уравнений, описывающая в двумерной осесимметричной постановке поведение пористого материала в рамках модели упругопластического тела, имеет вид

$$(1.1) \quad \begin{aligned} \rho \dot{v} &= \partial \sigma_z / \partial z + \partial s_{rz} / \partial z + s_{rz} / r, \quad \rho \dot{u} = \partial s_{rz} / \partial z + \\ &+ \partial \sigma_r / \partial r + (2s_r + s_z) / r, \quad \dot{V} / V = \partial v / \partial z + \partial u / \partial r + u / r, \\ \dot{E} &= -pV + V[s_z \dot{e}_z + s_r \dot{e}_r + s_{rz} \dot{e}_{rz} - (s_r + s_z) \dot{e}_\varphi]_z \end{aligned}$$

$$\begin{aligned}
 (1.2) \quad p &= \frac{k_{0m} \left[1 - 0,5\Gamma_{0m} \left(1 - \frac{\alpha_0}{\alpha} V \right) \right]}{\alpha \left[1 - s_{0m} \left(1 - \frac{\alpha_0}{\alpha} V \right) \right]^2} \left(1 - \frac{\alpha_0}{\alpha} V \right) + \frac{\Gamma_{0m} E}{\alpha}, \\
 2\mu \dot{e}_r &= \frac{D}{Dt} s_r + \lambda s_r, \quad 2\mu \dot{e}_z = \frac{D}{Dt} s_z + \lambda s_z, \\
 2\mu \dot{e}_\varphi - \frac{D}{Dt} s_\varphi + \lambda s_\varphi, \quad \mu \dot{e}_{rz} &= \frac{D}{Dt} s_{rz} + \lambda s_{rz}.
 \end{aligned}$$

Здесь и ниже r, z — координаты; u, v — компоненты вектора скорости по осям r, z ; σ_r, σ_z — компоненты тензора напряжений; p — давление; $s_r, s_z, s_{rz}, s_\varphi = -(s_r + s_z)$ — компоненты тензора дивергента напряжений; E — внутренняя энергия; $e_r, e_z, e_{rz}, e_\varphi$ — компоненты тензора дивергента скоростей деформаций; $V = \rho_{00}/\rho$ — относительный объем; $\rho_{00} = \rho_{0m}/\alpha_0$ — начальная плотность пористого материала; ρ_{0m} — начальная плотность материала матрицы при нормальных условиях; $\alpha = \rho_m/\rho$ — пористость; α_0 — начальная пористость; ρ — плотность; $\mu = \mu_{0m} (1 - \xi) \left(1 - \frac{6K_{zm} + 12\mu_{0m}\xi}{9K_{0m} + 8\mu_{0m}\xi} \right)$ — модуль сдвига [1]; μ_{0m}, K_{0m} — соответственно модули сдвига и всестороннего объемного сжатия; Γ_{0m} — коэффициент Грюнайзена; s_{0m} — константа материала; Y_{dm}, Y_{0m} — динамический и статический пределы текучести; $\xi = (\alpha - 1)/\alpha$ — относительный объем пор; D/Dt — символ производной Яуманна; все величины без индекса m относятся к пористому материалу.

Параметр λ в (1.2) определяется с помощью условия текучести Мизеса для пористого материала в виде

$$(1.3) \quad s_r^2 + s_z^2 + s_{rz}^2 + s_\varphi^2 = \frac{1}{3} \left(\frac{Y_{dm}}{\alpha} \right)^2.$$

Конкретное выражение для λ не приводится, поскольку в численном методе [2], предложенном для решения задач, используется процедура приведения напряжения к кругу текучести, которая эквивалентна полным соотношениям (1.2).

Кинетическое уравнение, описывающее сжатие пористого материала, может быть получено из решения задачи о равновесии сферической поры под действием приложенного давления [3]

$$\begin{aligned}
 (1.4) \quad p &= \begin{cases} \frac{4\mu_{0m}(\alpha_0 - \alpha)}{3\alpha^2(\alpha - 1)} & \text{при } \alpha_0 \geq \alpha \geq \alpha_1, \\ \frac{2}{3} Y_{0m} \left\{ 1 - \frac{2\mu_{0m}}{Y_{0m}} \left(\frac{\alpha_0 - \alpha}{\alpha} \right) + \ln \left[\frac{2\mu_{0m}}{Y_{0m}} \left(\frac{\alpha_0 - \alpha}{\alpha - 1} \right) \right] \right\} & \text{при } \alpha_1 > \alpha \geq \alpha_2, \\ \frac{2}{3} Y_{0m} \ln \left(\frac{\alpha}{\alpha - 1} \right) & \text{при } \alpha_2 > \alpha \geq \alpha_{00} > 1, \end{cases} \\
 \alpha_1 &= \frac{2\mu_{0m}\alpha_0 + Y_{0m}}{2\mu_{0m} + Y_{0m}}, \quad \alpha_2 = \frac{2\mu_{0m}\alpha_0}{2\mu_{0m} + Y_{0m}}.
 \end{aligned}$$

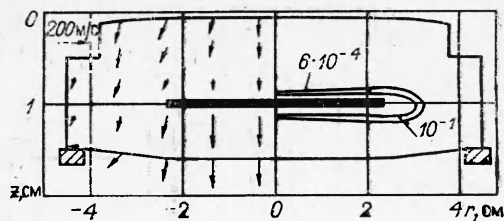
Рост пор в пластически деформированном материале можно рассчитать по уравнению [4]

$$(1.5) \quad \dot{\alpha} = (\alpha - 1) \left[\frac{3n}{2\eta_0} |\Delta p| \frac{\alpha}{1 - \left(\frac{\alpha - 1}{\alpha} \right)^n} \right]^{1/n} \text{ при } \Delta p = p + \frac{a_s}{\alpha} \ln \left(\frac{\alpha}{\alpha - 1} \right) < 0,$$

где α_{00} — остаточная пористость в сплошном материале ($\alpha_{00} \approx 1,0006$); a_s, η_0, n — константы материала, численные значения которых приведены в [4].

Исследование поведения пористого материала под действием кратковременных импульсных нагрузок сводится к решению системы уравнений

(1.1) — (1.5) при соответствующих начальных и граничных условиях. Начальные условия отвечают тому факту, что до воздействия нагрузки материал образца находился в недеформированном состоянии. Граничными условиями на свободных поверхностях исследуемого образца являются равенства нулю нормальной и касательной составляющих вектора напряжений, а в местах закрепления его на кольцевой опоре — нормальной составляющей вектора скорости.



Р и с. 1

Откольное разрушение в образцах рассматривается как процесс роста пор в пластически деформированном материале. При достижении в элементе материала критической пористости (относительный объем пор 0,3) происходит нарушение сплошности среды и напряжения в нем принимают равными нулю.

2. Как показывают экспериментальные данные [5], при ударе стального диска (толщина 0,5 см, диаметр 7,6 см) по стальной мишени (толщина 1 см, диаметр 9 см) со скоростями выше 215 м/с в мишени образуется откольное разрушение. На рис. 1 приведена в момент времени 6 мкс картина разрушения в мишени при скорости удара 320 м/с, где линиями изображены изолинии относительного объема пор, по которым можно судить о степени разрушения мишени; зачернена область разрушенного материала. Предельная пористость достигается в одном ряде ячеек в центре мишени, перпендикулярном направлению удара. В этой области материала образуется магистральная трещина.

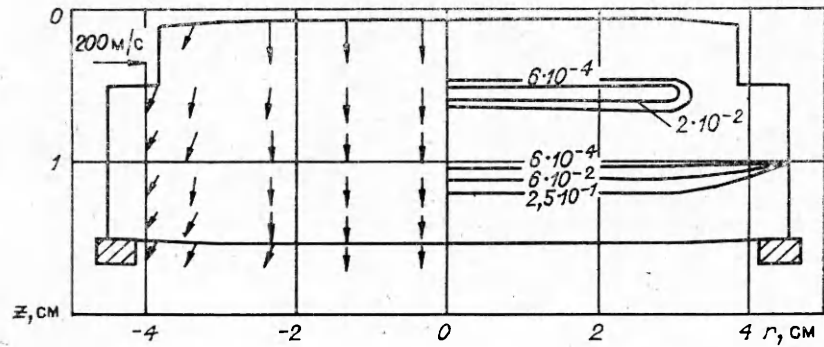
Откольного разрушения в мишени можно избежать, если использовать пористую прокладку. Рассмотрим процесс взаимодействия стального ударника с двухслойной мишенью, состоящей из стального листа и листа из пористого железа с относительным объемом пор 0,25 ($\alpha_0 = 1,34$). Из расчетов видно, что ударная волна в мишени, достигнув поверхности раздела материалов, отразится в стальной лист в виде волн разгрузки, в результате этого уровень сжимающих напряжений в нем понизится от 4 до 1,5 ГПа. Интенсивность ударной волны, распространяющейся по пористому листу, недостаточна для полного уплотнения материала. Интерференция волн разгрузки, распространяющихся от свободной поверхности ударника и поверхности раздела материалов, приводит к появлению области растягивающих напряжений в центре стального листа, однако уровень их недостаточен для образования разрушений. Рост пор происходит в мишени лишь в небольшой области у поверхности контакта с ударником. Все эти особенности хорошо прослеживаются на рис. 2, где в момент времени 5 мкс приведены поле массовых скоростей и изолинии относительного объема пор в ударнике и мишени.

Картина разрушения в мишени, содержащей пористую прокладку, сильно зависит, как показали расчеты, проведенные в рамках одномерной деформации [6], от скорости удара, величины и местоположения пористой прокладки и относительного объема пор в ней.

3. Рассмотрим влияние пористых прокладок на откольное разрушение в металлических дисках, подвергнутых взрывному нагружению цилиндрическими накладными зарядами ВВ. С целью упрощения решения задачи действие продетонировавшего заряда на металлический диск заменяется действием импульса давления

$$p(r, z, t) = p_0 \left(1 - \frac{t}{T_0}\right) \left[1 - 0,5 \left(\frac{r}{r_0}\right)^2\right],$$

где $T_0 = 2I_s / (\pi p_0 r_0^2)$ — время действия продуктов детонации на диск; $I_s = 0,8 (h/r_0)^{1/3} \rho_{0H} r_0^3 D_H$ — полный импульс, переданный диску продук-



Р и с. 2

тами детонации [7]; D_H — скорость детонационной волны; $h, d = 2r_0$ — высота и диаметр заряда ВВ; ρ_{0H} — плотность заряда.

При взаимодействии продуктов детонации с металлическим диском в нем возникает ударная волна, интенсивность которой зависит от характеристик заряда ВВ. Что же касается продуктов детонации, то по ним распространяется отраженная ударная волна, начальная интенсивность которой определяется зависимостью [8]

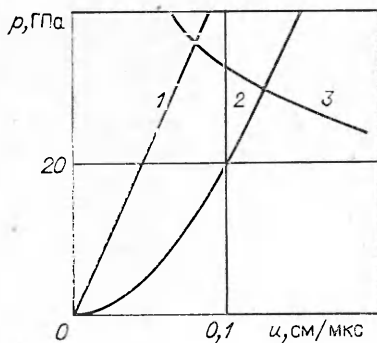
$$u = \frac{D_H}{m+1} \left[1 - 2 \sqrt{m} \frac{k-1}{\sqrt{(m+1)k + (m-1)}} \right].$$

Здесь $k = 4p/(\rho_{0H} D_H^2)$; m — показатель политропы; u — массовая скорость.

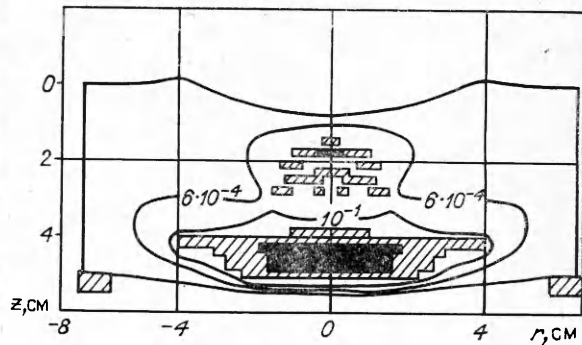
Решение этого уравнения совместно с уравнением ударной адиабаты материала диска полностью определяет решение задачи о нахождении начального давления на границе раздела p_0 . Методика построения адиабат пористого материала приведена в [6].

На рис. 3 представлено решение графическим методом задачи о нахождении начального давления p_0 на поверхности монолитной и пористой стальных преград при взрыве цилиндрического заряда ВВ ($\alpha_0 = 1,34$, $\rho_{0H} = 1,65$ г/см³, $D_H = 7655$ м/с, $m = 3$), линии 1 и 2 — ударные адиабаты сплошного и пористого железа, 3 — адиабата вторичного сжатия продуктов детонации.

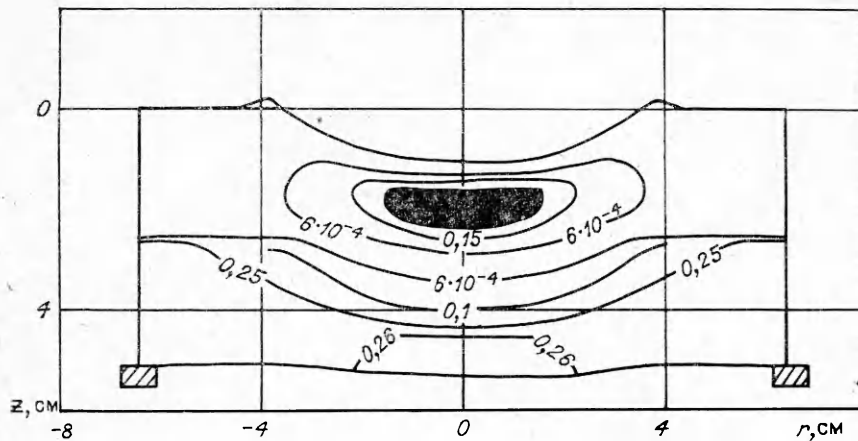
Картина разрушения в стальном диске (диаметр 12,7 см, высота 5,08 см), подвергнутом воздействию импульсной нагрузки, моделирующей контактный взрыв цилиндрического заряда ВВ ($d = h = 5,08$ см, $\rho_{0H} = 1,65$ г/см³, $D_H = 7655$ м/с), приведена в момент времени 20 мкс на рис. 4. Геометрические размеры стального диска и накладного заряда ВВ приняты такими же, как и в [9]. Заштрихованные зоны — это области материала, в которых относительный объем пор больше 0,15. В диске образовались две зоны разрушения. Основная область разрушений параллельна тыльной поверхности диска. Вторая зона разрушений расположена



Р и с. 3



Р и с. 4



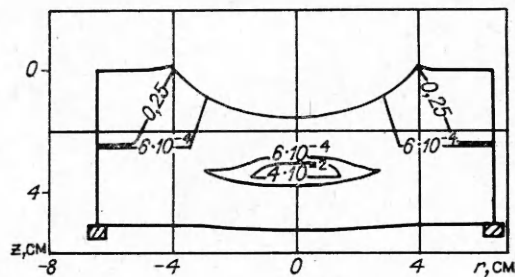
Р и с. 5

под кратером. Она появилась в результате интерференции волн разгрузки, распространяющихся от поверхности контакта и свободной лицевой поверхности диска. Обе зоны разрушений наблюдаются в эксперименте [9].

На рис. 5 показаны разрушение и изолинии относительного объема пор в двухслойном диске в момент времени 20 мкс. Первый лист диска стальной, а второй из пористого железа с относительным объемом пор 0,25.

Взаимодействие встречных волн разгрузки, распространяющихся от свободной лицевой поверхности стального листа и от поверхности раздела материалов, привело к образованию области разрушений в центре стального листа. Ударная волна, распространяющаяся по пористому материалу, сначала уплотняет его. По мере распространения интенсивность ее падает настолько, что в последующие моменты времени пористый материал за фронтом ударной волны остается практически неуплотненным. Достигнув свободной тыльной поверхности пористого слоя, она отражается в виде волн разгрузки, интерференция которых с волнами разгрузки, распространяющимися от свободной поверхности стального листа, приводит к увеличению относительного объема пор у тыльной поверхности диска.

Рис. 6 иллюстрирует в момент времени 21 мкс разрушение и изолинии относительного объема пор в двухслойном диске, первый лист которого из пористого железа, а второй стальной. Интенсивность ударной волны в пористом слое достаточна для уплотнения центральной части слоя пористого материала до сплошного. Неуплотненными остались области материала, прилегающие к свободной боковой поверхности пористого слоя и кромке кратера. В данном варианте расчета разрушений не произошло. В центре диска образовалась лишь небольшая область материала, в которой происходил незначительный рост пористости в результате интерференции встречных волн разгрузки, распространяющихся от свободных лицевой и тыльной поверхностей диска.



Р и с. 6

Таким образом, из вышеизложенного следует, что пористые прокладки хорошо предохраняют образцы при взрывном нагружении, если они находятся на их лицевой поверхности.

ЛИТЕРАТУРА

1. Johnson J. N. Dynamic fracture and spallation in ductile solids // J. Appl. Phys.— 1981.— V. 52, N 4.
2. Уилкинс М. Л. Расчет упругопластических течений // Вычислительные методы в гидромеханике.— М.: Мир, 1967.
3. Carroll M. M., Holt A. C. Static and dynamic pore-collapse for ductile porous materials // J. Appl. Phys.— 1972.— V. 43, N 4.
4. Белов Н. Н., Корнеев А. И., Николаев А. П. Численный анализ разрушений в плитах при действии импульсных нагрузок // ПМТФ.— 1985.— № 3.
5. Иванов А. Г., Клещевников О. А. и др. Откол в стали // ФГВ.— 1981.— № 6.
6. Белов Н. Н., Корнеев А. И., Симоненко В. Г. Исследование влияния прослойки из пористого материала на откольное разрушение металлических плит.— М., 1985.— Деп. в ВИНТИ 25.12.85, № 8859—В85.
7. Шубин Е. П. О закономерностях изменения импульса давления на поверхности преграды вблизи заряда ВВ // ФГВ.— 1965.— № 3.
8. Баум Ф. М., Орленко Л. П., Станюкович К. П. и др. Физика взрыва.— М.: Наука, 1975.
9. Райнхарт Дж. Некоторые экспериментальные данные о напряжениях, вызванных взрывом // Механика.— 1953.— № 4.

Поступила 4/II 1987 г.

УДК 539.4

УРАВНЕНИЯ ИЗОТРОПНОГО ДЕФОРМИРОВАНИЯ ГАЗОНАСЫЩЕННЫХ МАТЕРИАЛОВ С УЧЕТОМ БОЛЬШИХ ДЕФОРМАЦИЙ ШАРОВЫХ ПОР

В. А. Буряченко, А. М. Липанов

(Москва)

Рассматривается композитная среда, состоящая из однородной изотропной матрицы и шаровых пор, насыщенных газом. Характер расположения пор принимается статистически-однородным. Ранее с помощью предложенного метода эффективного поля [1—3] получены уравнения состояния газонасыщенных пористых сред в предположении малых деформаций пор и среды в целом [1]. В случае общих типов больших деформаций естественно рассматривать методы решения при помощи последовательных приближений [4], что было сделано для композитных сред методом условных моментных функций [5]. Сильным допущением метода условных моментных функций является предположение об однородности полей напряжений в пределах каждого компонента, что приводит к значительным погрешностям в оценке эффективных параметров линейно-упругих сред в сравнении с методом эффективного поля [1, 2]. Анализ произвольно больших деформаций рассмотрен для частного случая изотропного деформирования материала с шаровыми порами и несжимаемой матрицей с использованием ячеистой модели [6, 7]. В данной работе решена аналогичная задача с учетом действия давления газа в порах с помощью привлечения идей метода эффективного поля [1, 2], хорошо себя зарекомендовавшего при исследовании линейных задач микро-неоднородных сред.

1. Физическая модель. В ряде практически важных задач представляет интерес исследование объемного деформирования резиноподобных материалов с малой ($\leq 1\%$) пористостью. Для определенности будем описывать деформационные свойства матрицы потенциалом Муни [4]. В линейных задачах газонасыщенных пористых сред показано [1], что для шаровых пор в несжимаемой матрице эффекты бинарного взаимодействия включений при малой пористости несущественны и эффективный объемный модуль определяется решением линейно-упругой задачи об одиночном включении, находящемся в матрице с заданным на бесконечности некоторым эффективным полем напряжений. Поэтому можно считать допустимой ячеистую модель [6, 7], предполагающую эквивалентность деформационных свойств пористой среды и толстостенной сферической оболочки с отношением объемов поры и шарового элемента, равного пористости композитной среды. В данной работе используем позитивные идеи метода эффективного поля и поместим шаровой элемент в матрицу с заданным на бесконечности эффективным полем напряжений, отличным от действующе-